

---

# Метод построения случайного леса на основе отдаления друг от друга базовых моделей

---

A Preprint

Дмитриев Леонид Алексеевич  
МГУ им. М.В. Ломоносова  
ф-т ВМК, кафедра ММП  
s02200542@gse.cs.msu.ru

д.ф-м.н. Сенько Олег Валентинович  
МГУ им. М.В. Ломоносова  
ф-т ВМК, кафедра ММП  
senkoov@mail.ru

## Abstract

В работе представлен новый метод случайного леса, который строится итеративно и в котором новое дерево обучается с учетом накопленного до него ансамбля. Данный метод хорошо проявляет себя на некоторых химических и медицинских данных. Исследование метода проводилось на датасете кристаллических решеток.

Keywords Machine Learning · Multilevel Machine Learning Systems · Regression Modeling · Inorganic Compounds Physical Properties Prediction.

## 1 Introduction

Случайный лес - широко известный алгоритм машинного обучения. Его способность хорошо аппроксимировать данные за счёт уменьшения разброса основана на предположении, что все деревья ансамбля независимы и различны. Но практическое уменьшение разброса значительно меньше теоретического, так как на деле получаемые деревья обучаются на объектах из одного и того же множества. Это проблема частично решается такими методами, как беггинг и бутстрап. Предлагается другой способ повышения разнообразия деревьев внутри леса. Вместо независимой и параллельной генерации деревьев, будем на каждом шагу добавлять дерево, сильно отличающееся от уже созданного ансамбля, с помощью специального функционала, учитывающего ответы предыдущих моделей. Выдвигается гипотеза, что данный метод повысит разнообразие деревьев в ансамбле и тем самым уменьшит разброс предсказаний. Помимо отличия от предыдущих моделей, следующему дереву можно придать свойства какого-либо другого метода, например градиентного бустинга. Это может сделать лес не только разнообразным, но и более качественным. В данной работе будет детально рассмотрено построение дерева на очередном шаге по вышеописанному методу и для тестирования будет исследовано его применение на данных о химических веществах. [Kuznetsova], [Liu; Y.; Wang, 2012].

## 2 Problem statement

### 2.1 Теория

Предположим, что у нас есть переменная  $Y$ , стохастически зависящая от вектора переменных  $X_1, \dots, X_n$ , функции  $G_1(x)$ ,  $G_2(x)$ , детерминировано зависящие от вектора переменных  $X_1, \dots, X_n$ .

Имеется выборка  $\tilde{S} = \{(y_j, x_j, G_1(x_j), G_2(x_j)), j = \overline{1, m}\}$ , где

- $y_j$  - значение переменной  $Y$  для объекта с номером  $j$
- $x_j = (x_{j1}, \dots, x_{jn})$  - вектор значений признаков  $X_1, \dots, X_n$  для объекта с номером  $j$
- $G_1(x_j)$  - значение функции  $G_1$  в точке  $x_j$

- $G_2(x_j)$  - значение функции  $G_2$  в точке  $x_j$

Предлагается построить дерево  $T(x)$ , для которого достигается минимум функционала:

$$\Phi(\tilde{S}, T) = \sum_{j=1}^m \{\gamma_1 [T(x_j) - y_j]^2 + \gamma_2 [T(x_j) - G_2(x_j)]^2 - \mu [T(x_j) - G_1(x_j)]^2\}$$

где  $\gamma_1 + \gamma_2 = 1$ ;  $\gamma_1, \gamma_2, \mu \in [0, 1]$

Как видно из структуры функционала  $\Phi$ , дерево  $T$ , соответствующее его минимуму, будет аппроксимировать связь  $Y$  с переменными  $X_1, \dots, X_n$  при  $\gamma_1 > 0$ .

Одновременно дерево  $T(x)$  будет удаляться от зависимости  $G_2(x)$  при возрастании  $\mu$  и приближаться к зависимости  $G_1(x)$  при возрастании  $\gamma_2$ .

## 2.2 Реализация дерева

При построении дерева был использован "жадный" метод оптимизации целевого функционала: на каждом шагу к дереву добавляется узел, обеспечивающий наибольшее снижение используемого функционала  $\Phi$ .

Предположим, что на каком-то шаге дерево  $T_k$  содержит  $k$  концевых узлов, которым соответствуют концевые выборки  $S_1^k, \dots, S_k^k$ .

Новое дерево  $T_{k+1}$  строится через добавление к дереву  $T_k$  дополнительного узла  $u$ .

Узел  $u$  получается из некоторого концевого узла  $g$  с помощью порогового правила вида  $X_u > \delta_u$ , где  $X_u$  и  $\delta_u$  признак и порог к нему соответственно.

Правило  $X_u > \delta_u$  расщепляет выборку  $S_g^k$  на две подвыборки.

Признак  $X_u$  и порог  $\delta_u$  ищутся из условия максимизации разности  $\Phi(\tilde{S}, T_k) - \Phi(\tilde{S}, T_{k+1})$ .

Процесс построения может быть прекращен при выполнении одного из перечисленных условий:

- На очередном шаге не удается уменьшить функционал
- На очередном шаге произошло изменение функционала, меньшее чем некоторое пороговое значение
- Кол-во объектов внутри узла меньше некоторого порогового значения

## 3 Эксперименты

### 3.1 Описание данных

Для тестирования реализации дерева было использовано два набора данных с разным множеством признаков. Данные состоят из двух разных датасетов химических соединений.

Объектами являются некоторые химические соединения, каждый из которых описан набором вещественных значений. Целевой переменной является температура плавления химического соединения в Кельвинах.

Проведем некоторый анализ предоставленных данных. Первый датасет имеет 451 объект и 98 признаков, а второй 431 объект и 86 признаков. Данные были разделены на тренировочную и тестовую выборки в соотношении 7 к 3.

Из данных графиков на рис. 1 можно заметить, что у большей части признаков в датасете малое число уникальных значений. Из этого можно сделать вывод, что признаки можно интерпретировать как упорядоченные категориальные, как раз для таких данных хорошо подходит модель решающего дерева.

На рис. 2 и рис. 3 изображена степень корреляции каждого из признаков с целевой переменной в порядке возрастания. Из данных графиков можно сделать вывод, что признаки имеют высокую степень корреляции с целевой переменной и не являются случайными. К тому же можно заметить, что графики для двух датасетов имеют большое сходство между собой, а значит данные принадлежат одному распределению. Дальнейшее исследование проведем над одним из датасетов.

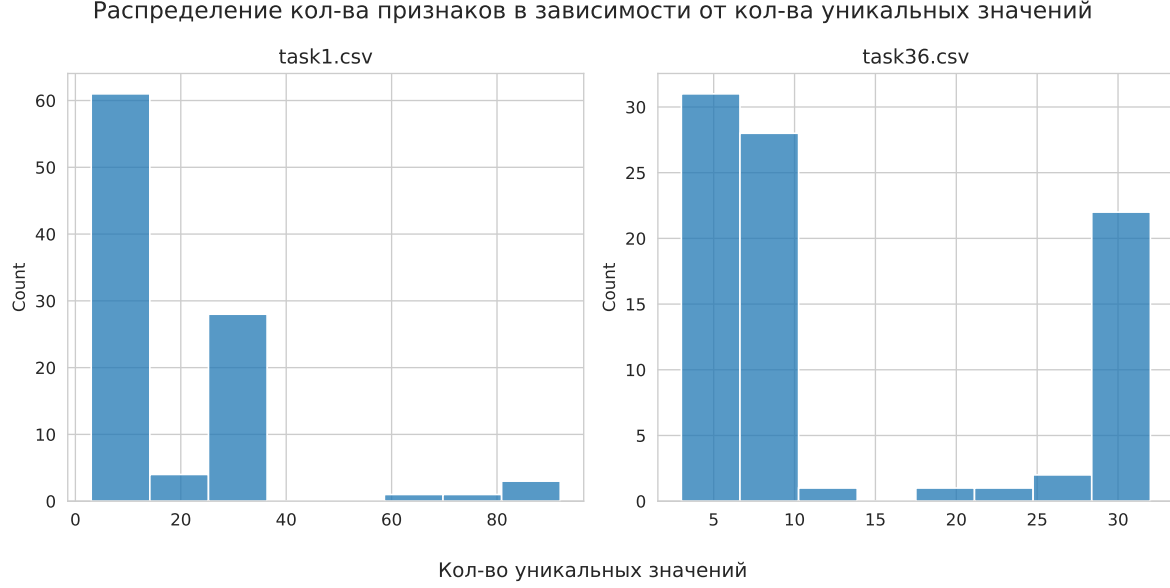


Рис. 1: График распределения кол-ва признаков в зависимости от кол-ва уникальных значений.

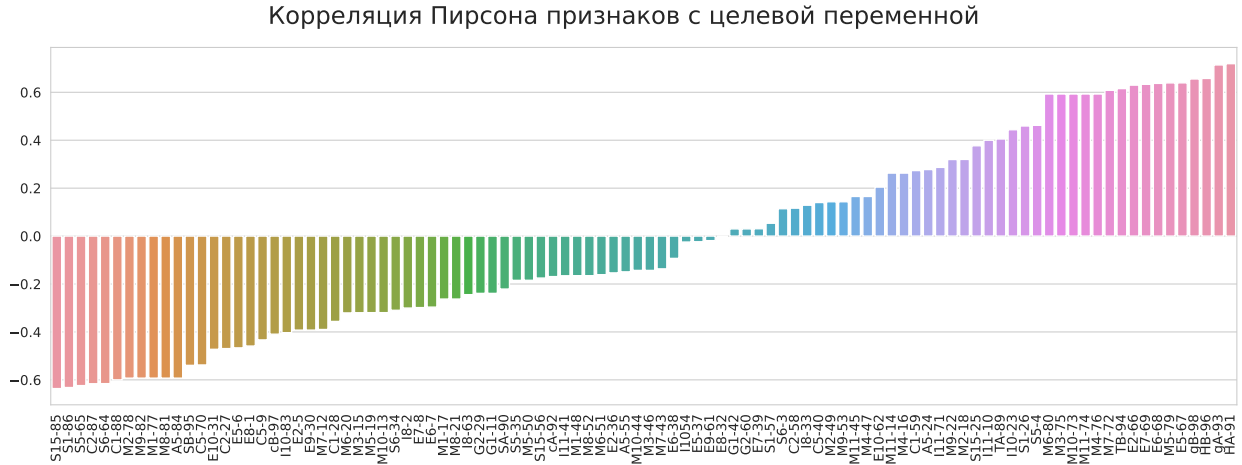


Рис. 2: График корреляции Пирсона признаков с целевой переменной из датасета 1

### 3.2 Результаты экспериментов

Были проведены эксперименты над реализацией дерева решений для задачи регрессии, оптимизирующего рассматриваемый функционал.

Для тестирования и исследования в качестве модели G1 (к зависимости которой дерево должно приближаться) был взят градиентный бустинг, а в качестве модели G2 (от зависимости которой необходимо удаляться) случайный лес. Параметры данных моделей были подобраны на кросс-валидации, где использовалась стандартная метрика MSE.

Был произведен ряд экспериментов с различными значениями гиперпараметров модели, такими как максимальная глубина дерева, минимальное число объектов в узле для разбиения, а также перебирались разные значения параметров целевого функционала:  $\gamma_1, \gamma_2, \mu$ .

На рис. 4 и рис. 5 изображено поведение рассматриваемого функционала в зависимости от глубины дерева. На первом графике в целевом функционале преобладают истинные значения таргета, а на втором преобладают значения, предсказанные градиентным бустингом.

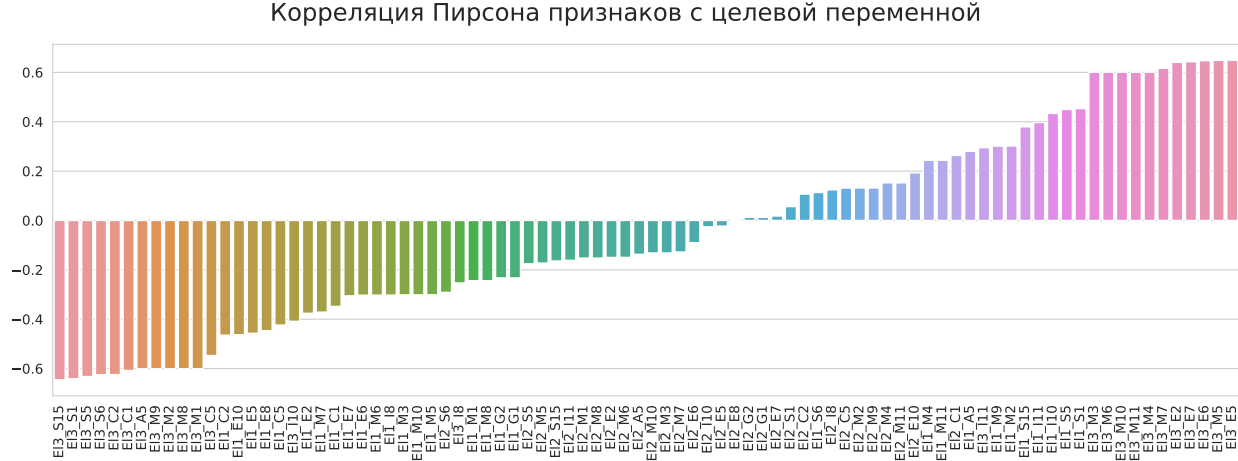
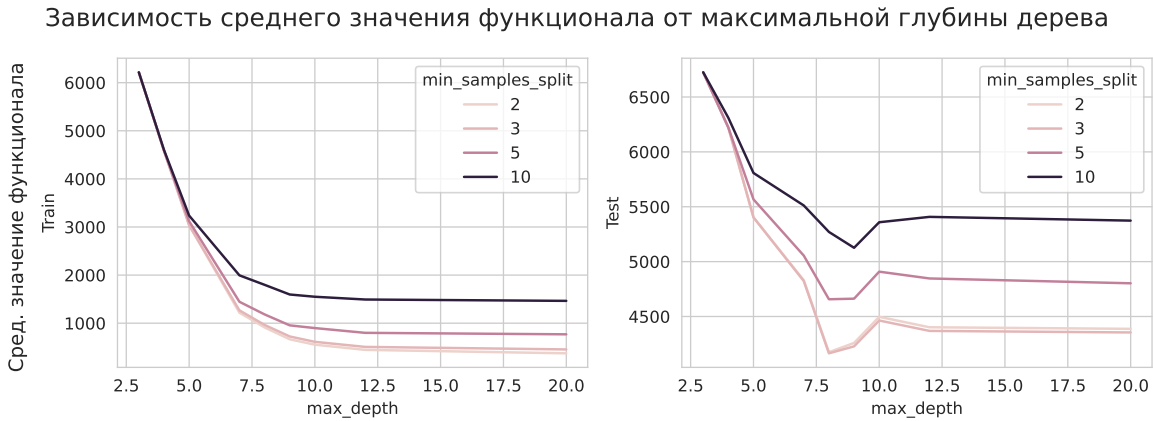


Рис. 3: График корреляции Пирсона признаков с целевой переменной из датасета task36.csv

Рис. 4: График зависимости значения функционала от глубины дерева для датасета 1 при разных значениях параметра  $\min\_samples\_split$ , и при  $\gamma_1 = 0.8$ ,  $\gamma_2 = 0.2$ ,  $\mu = 0.2$ .

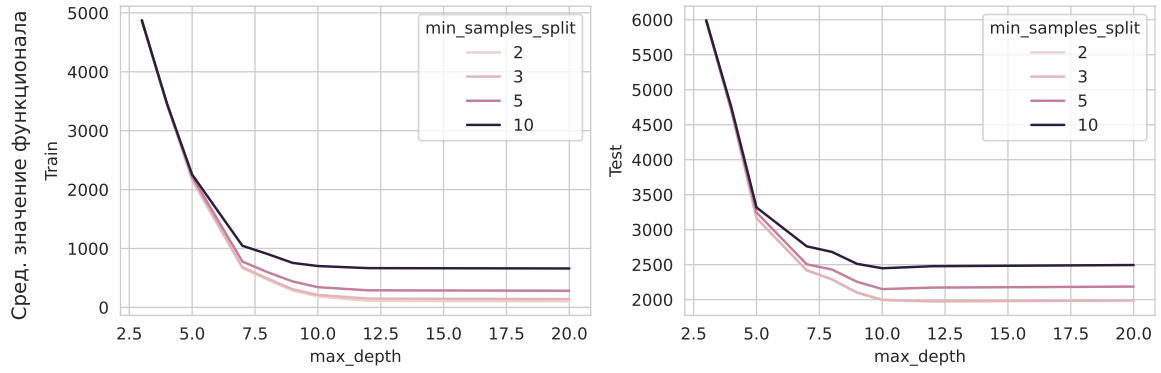
На рис. 4 наблюдается уменьшение значения функционала при уменьшении гиперпараметра  $\min\_samples\_split$  на тренировочной и тестовой выборках с последующим установлением плато, что связано с достижением предельного значения глубины, после которого во всех узлах минимальное число объектов. При глубине дерева 8 замечен локальный минимум на тестовой выборке, после чего функционал существенно не уменьшался.

На рис. 5, где в функционале преобладают предсказания градиентного бустинга, можно заметить, что функционал на тестовой выборке убывает монотонно, как и на тренировочной выборке. Такое поведение может быть, связано с тем, что для решающего дерева предсказывать ответы градиентного бустинга (основанного на деревьях) проще, чем истинную зависимость.

Рассмотрим разницу между поведением исследуемого функционала и стандартного MSE при увеличении максимальной глубины дерева. На рис. 6 изображен график зависимости метрики MSE от максимальной глубины дерева. На тренировочной выборке MSE монотонно убывает с ростом глубины, что похоже на поведение рассматриваемого функционала, но на тестовой выборке наблюдаются колебания. Можно сделать вывод, что исследуемый функционал оптимизируется стабильнее, чем MSE.

Рассмотрим поведение функционала при различных значениях параметра  $\mu$  (рис. 7). Из график следует, что значение функционала на тренировочной выборке уменьшается при увеличении  $\mu$ , что согласуется с формулой функционала. Но противоположное наблюдается на тестовой выборке, где при увеличении

Зависимость среднего значения функционала от максимальной глубины дерева

Рис. 5: График зависимости значения функционала от глубины дерева для датасета 1 при разных значениях параметра  $\min\_samples\_split$ , и при  $\gamma_1 = 0.2$ ,  $\gamma_2 = 0.8$ ,  $\mu = 0.2$ .

Зависимость значения MSE от максимальной глубины дерева

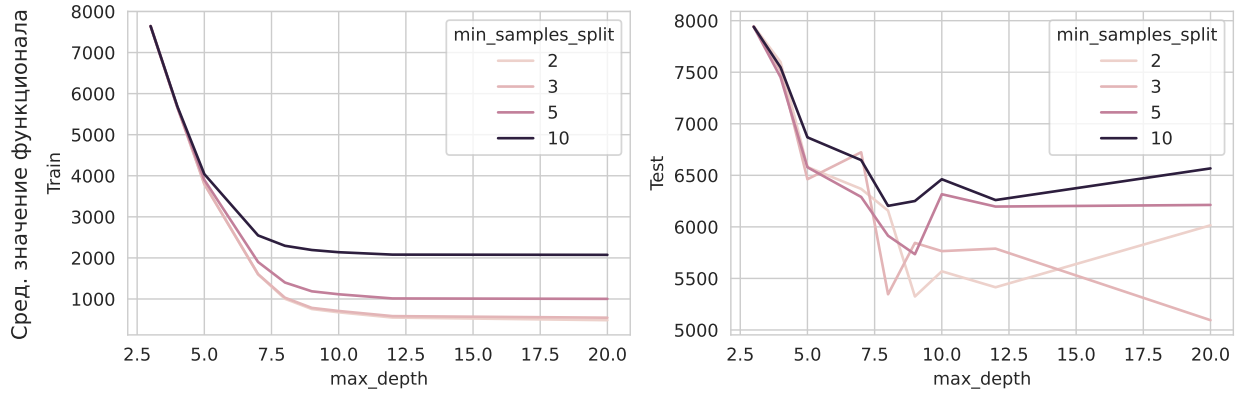


Рис. 6: График зависимости значения MSE от глубины дерева (деревья обучались с метрикой MSE).

параметра  $\mu$  увеличиваются и значения функционала. Из этого можно сделать вывод, что сильное отдаление от ответов решающего леса ухудшает качество предсказания.

## Зависимость среднего значения функционала от максимальной глубины дерева

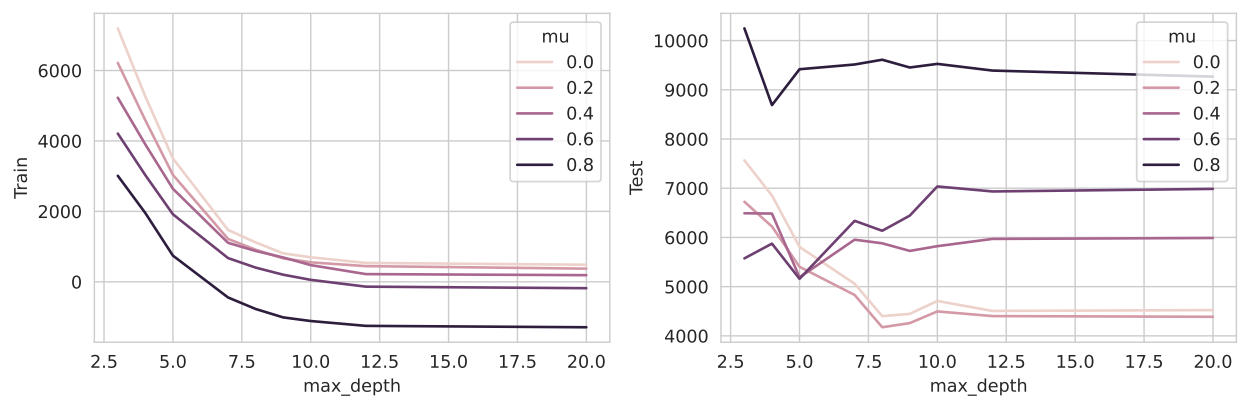


Рис. 7: График зависимости значения функционала от глубины дерева для датасета 1 при разных значениях параметра  $\mu$ , и при  $\gamma_1 = 0.8$ ,  $\gamma_2 = 0.2$ ,  $\min\_samples\_split = 2$ .

## Список литературы

O.V. Senko; A.A. Dokukin; N.N. Kiselyova; V.A. Dudarev; Yu.O. Kuznetsova. New two-level ensemble method and its application to chemical compounds properties prediction.

Y.; Zhang; J. Liu; Y.; Wang. New machine learning algorithm: Random forest., 2012.